

10月に実施した新岳火口周辺の熱観測では2006年5月と比べ高温域の広がりが認められた(第6～9図)。また、第十管区海上保安本部の協力を得て、鹿児島地方気象台職員が上空から行った10月30日の熱観測でも、新岳火口付近で高温域が拡大するなど、熱的活動の高まりを示す変化が認められた(第10図)。

5. 地殻変動の状況

GPS繰り返し観測では、2006年5月以降、新岳火口を中心に膨張傾向が見られる(第11図)。光波測距繰り返し観測でも、定点と山頂にあるE1間の斜距離は2006年2月以降、新岳火口付近の膨張を示す縮みの傾向が見られた(第12図)。

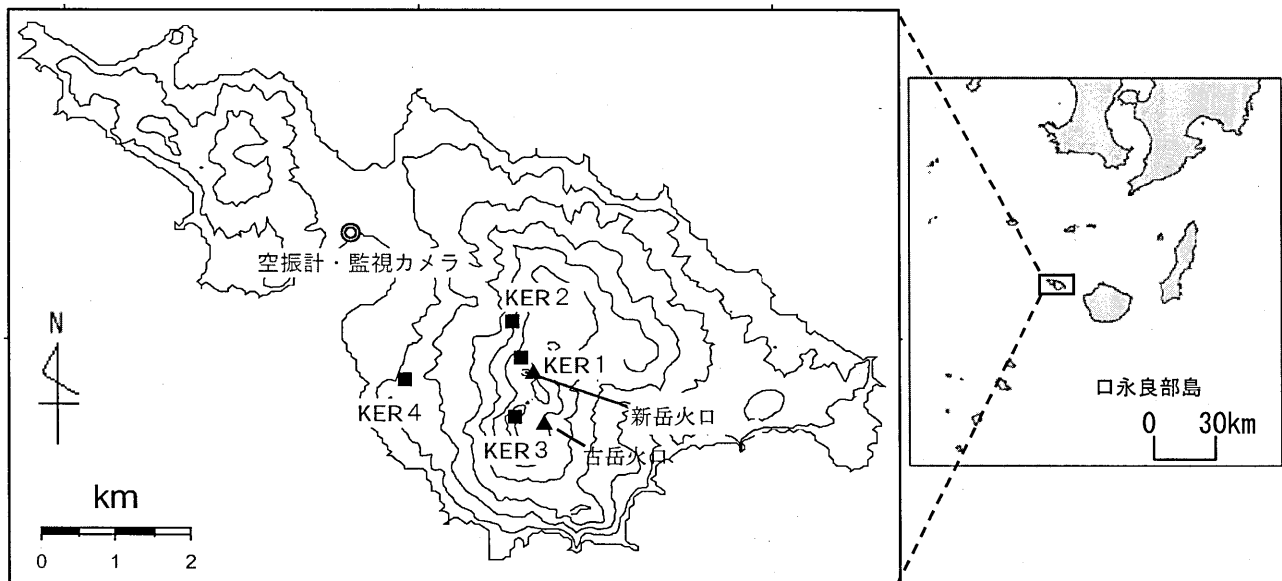
6. 火山情報の発表経過

本期間(2006年6月～10月)に発表した火山情報は第2表のとおりである。

第2表 口永良部島 火山情報発表状況

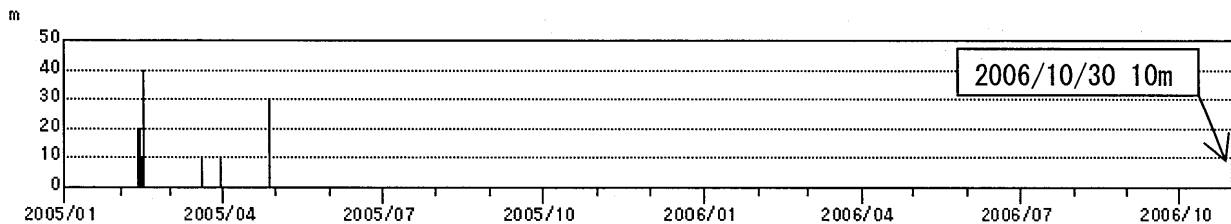
Table.2 Abstract of volcano information for Kuchinoerabujima issued by FDMO, JMA and KLMO, JMA.

火山情報名	発表日時	概要	火山活動度レベル
火山観測情報第2号	10/27 15:00	火山性地震及び火山性微動がやや多い	2



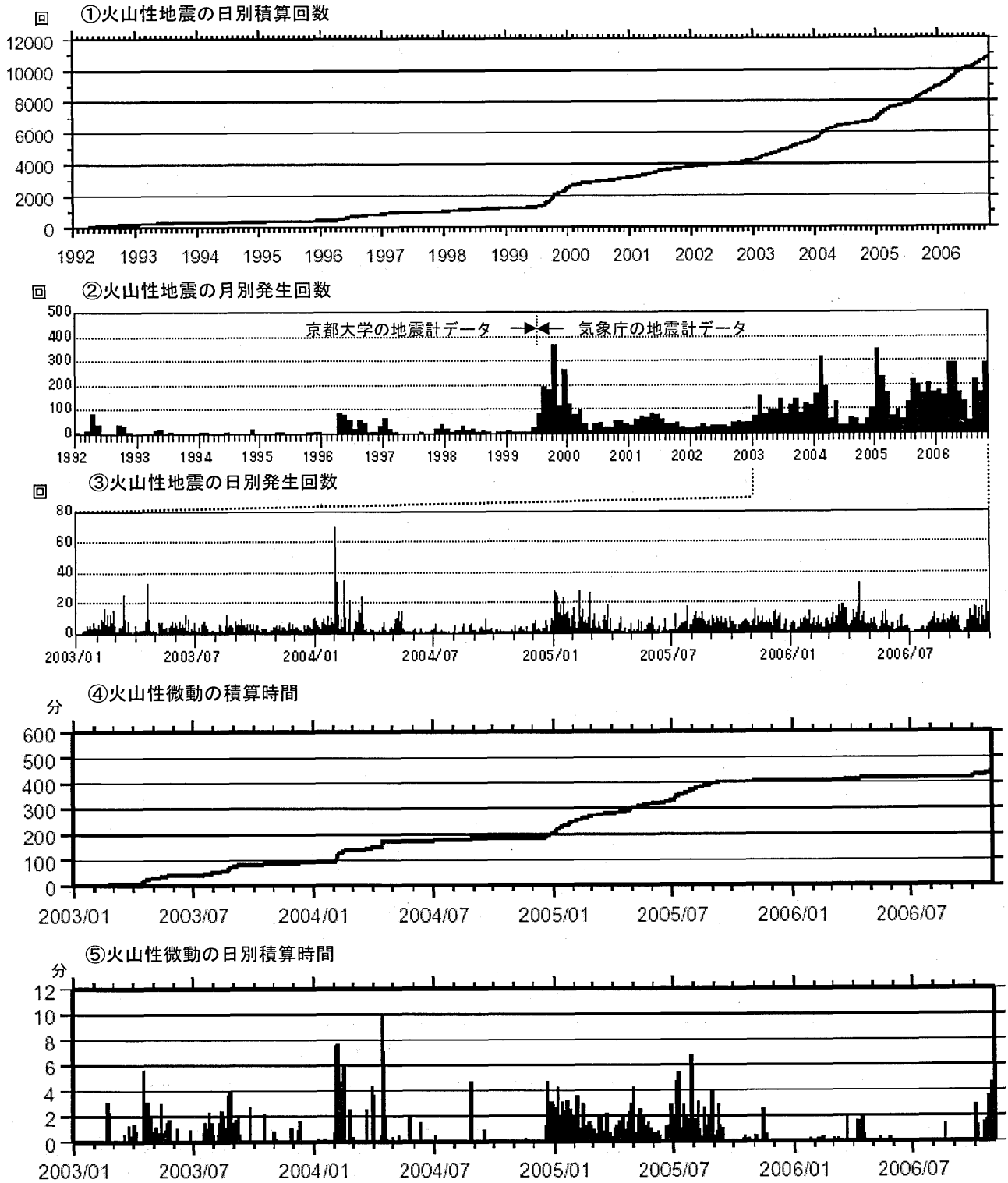
第1図 口永良部島 気象庁の観測点配置図

Fig.1 Location map of permanent observation sites of JMA around Kuchinoerabujima.



第2図 口永良部島 新岳火口の日最高噴気高度(2005年1月1日～2006年10月31日)
(観測は監視カメラによる)

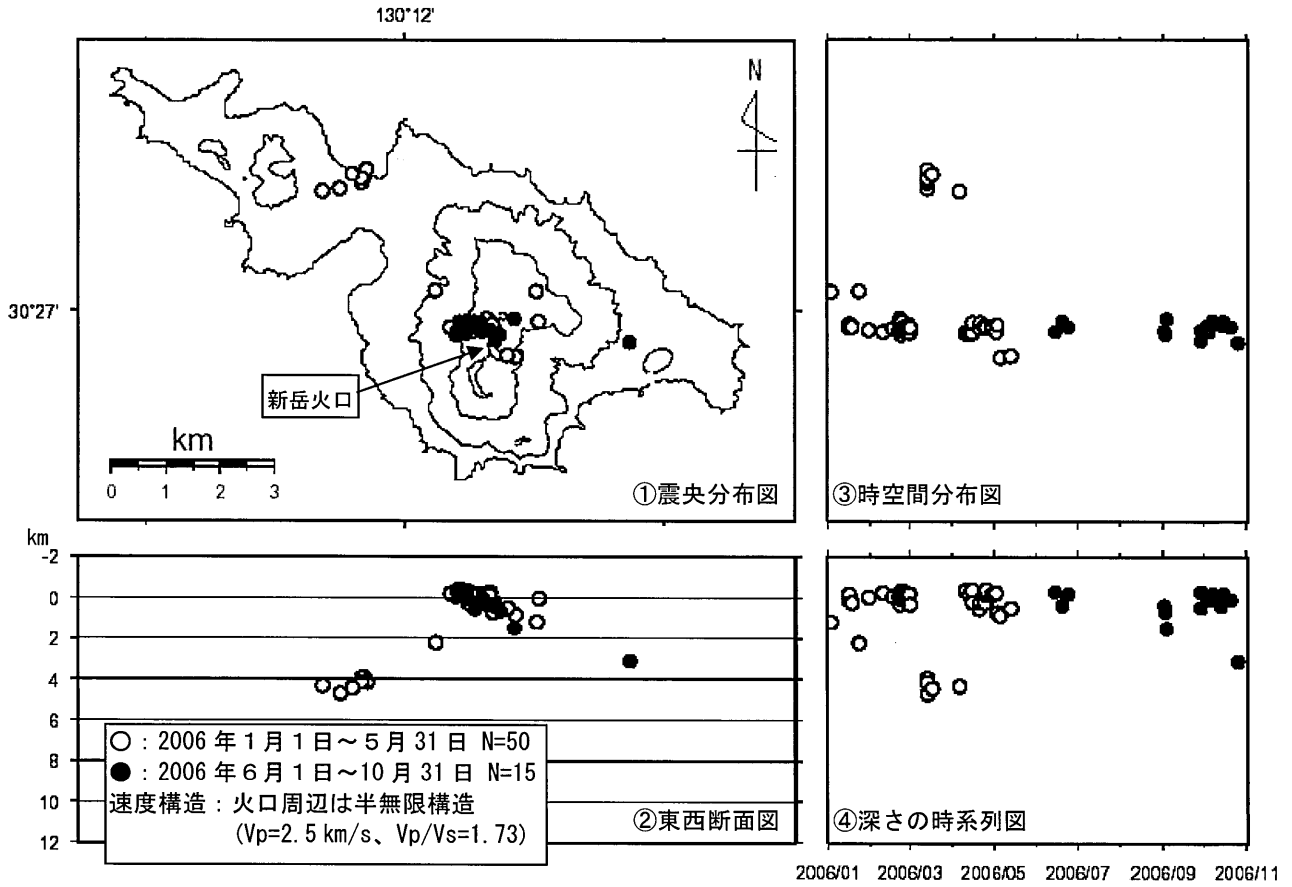
Fig.2 Daily maximum height of volcanic fumaroles of Kuchinoerabujima (Jan.1,2005-Oct.31,2006).
Measured on photography.



第3図* 口永良部島 火山性地震・微動活動経過図 (1992年1月1日~2006年10月31日)

Fig.3 Volcanic earthquakes and tremors activity of Kuchinoerabujima(Jan.1,1992-Oct.31,2006).

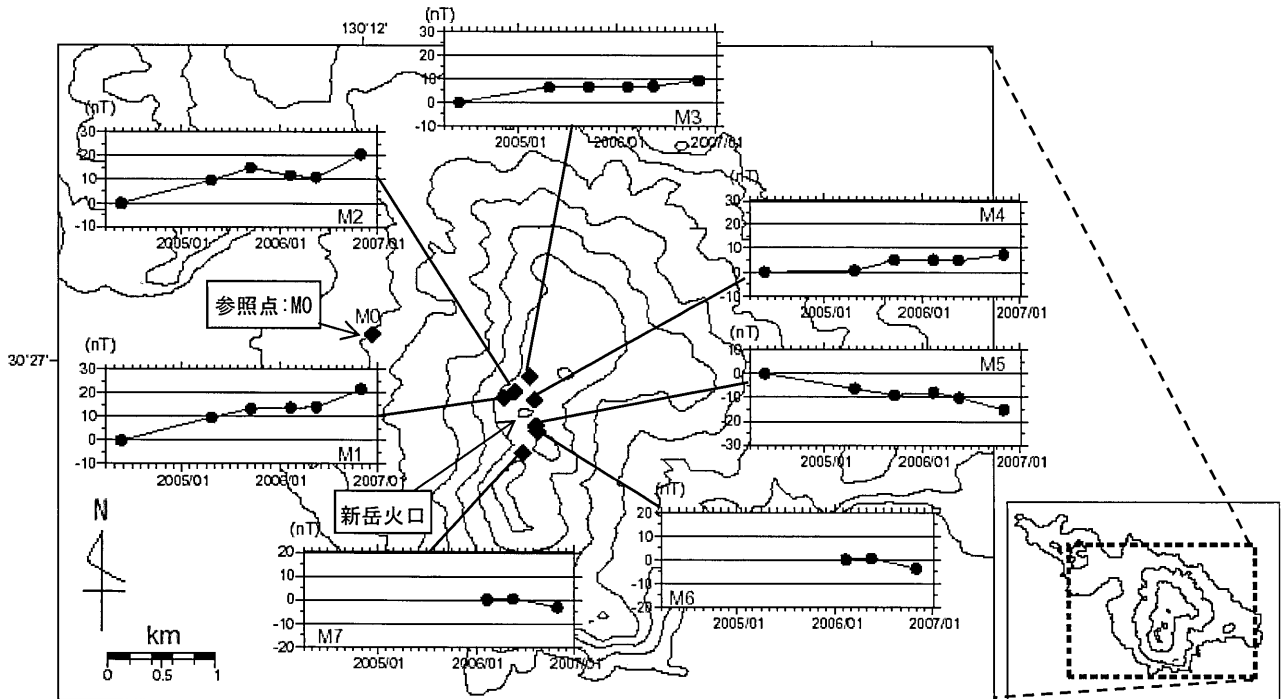
- ① : Daily integrate numbers of volcanic earthquakes. ② : Monthly numbers of volcanic earthquakes.
- ③ : Daily numbers of volcanic earthquakes. ④ : Integrate times of volcanic tremors.
- ⑤ : Daily integrate times of volcanic tremors.



第4図* 口永良部島 震源分布図(2006年1月1日~10月31日)

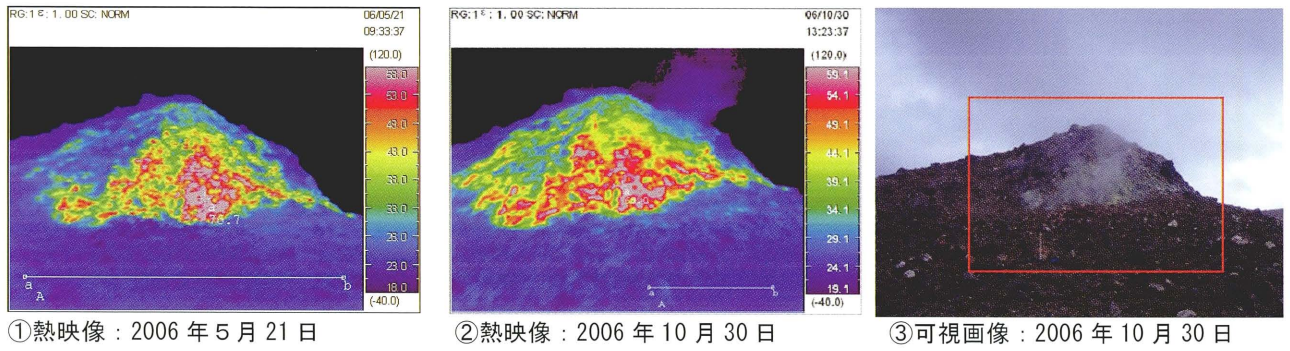
Fig.4 Hypocenter distribution around Kuchinoerabujima (Jan.1, 2006-Oct.31, 2006).

① : Hypocenter distribution. ② : Space-time diagram. ③ : Cross section diagram(E-W). ④ : Depth-time diagram.



第5図 口永良部島 全磁力繰り返し観測結果(2004年5月~2006年10月)

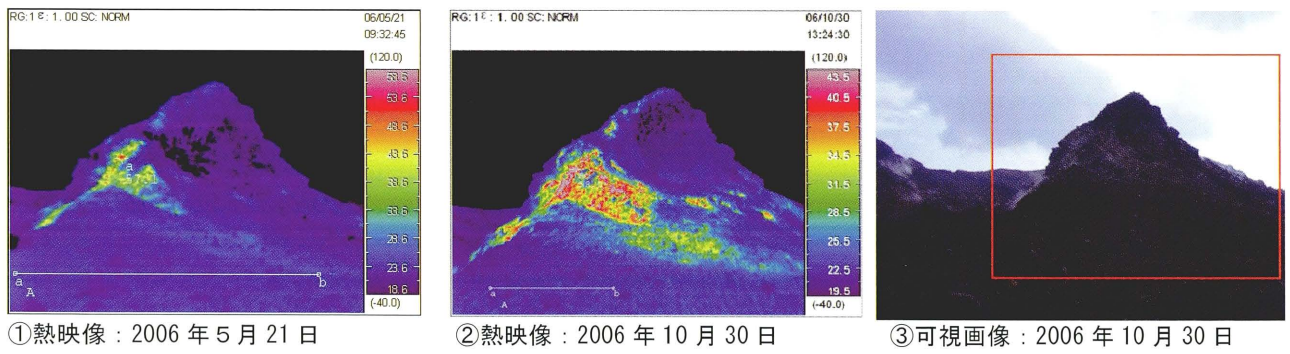
Fig.5 Results of repeated geomagnetic total intensity measurements (May, 2004-Oct., 2006). Reference point: M0.



第6図 口永良部島 新岳火口北東側の噴気地帯の状況

Fig.6 IR images and visible image of the fumarolic area northeast rim of Shindake crater.

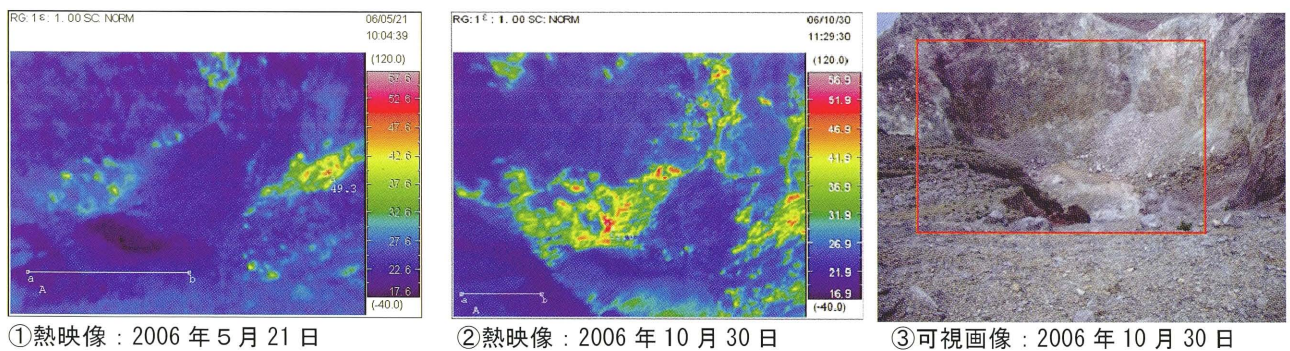
(Left) IR image on May 21, 2006. (Middle) IR image on Oct.30, 2006. (Right) Visible image on Oct.30, 2006.



第7図 口永良部島 新岳火口南側の噴気地帯の状況

Fig.7 IR images and visible image of the fumarolic area south rim of Shindake crater.

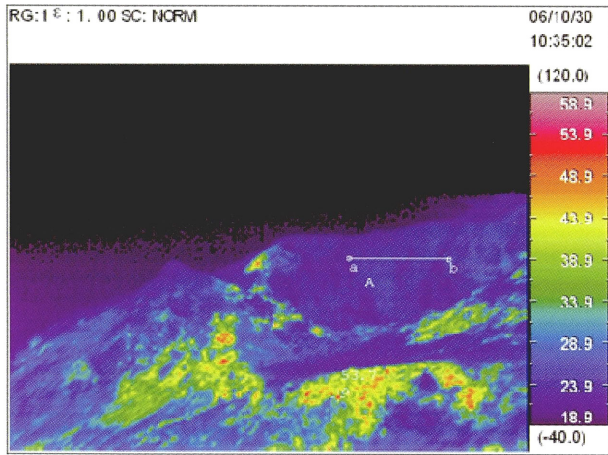
(Left) IR image on May 21, 2006. (Middle) IR image on Oct.30, 2006. (Right) Visible image on Oct.30, 2006.



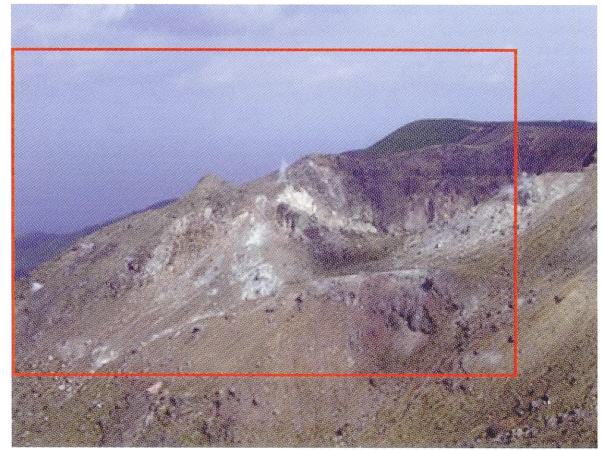
第8図 口永良部島 新岳火口底の状況

Fig.8 IR images and visible image of the bottom of Shindake crater.

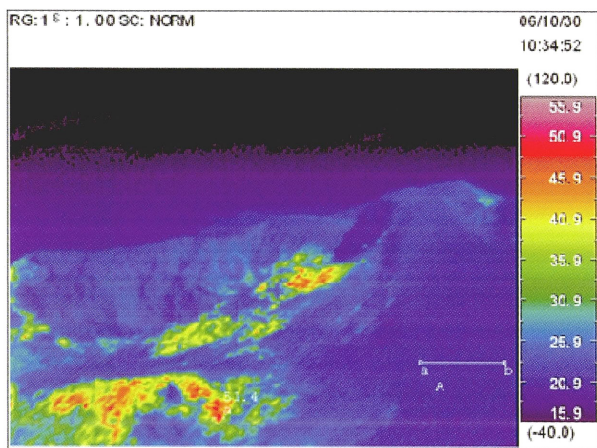
(Left) IR image on May 21, 2006. (Middle) IR image on Oct.30, 2006. (Right) Visible image on Oct.30, 2006.



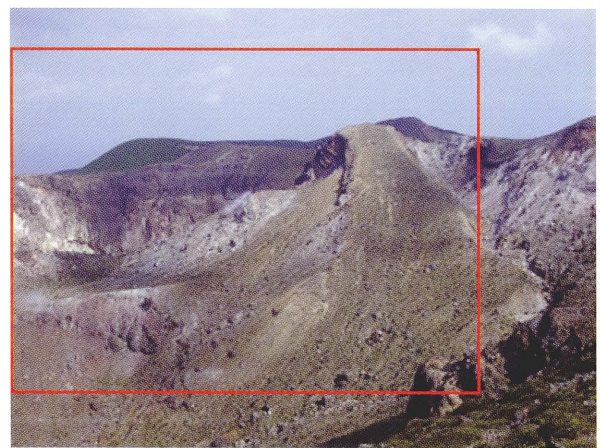
①熱映像：2006年10月30日



②可視画像：2006年10月30日



③熱映像：2006年10月30日



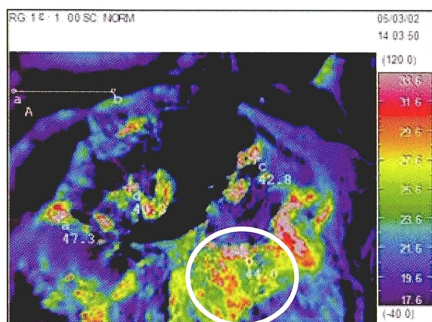
④可視画像：2006年10月30日

第9図 口永良部島 新岳火口南西側の噴気地帯の状況

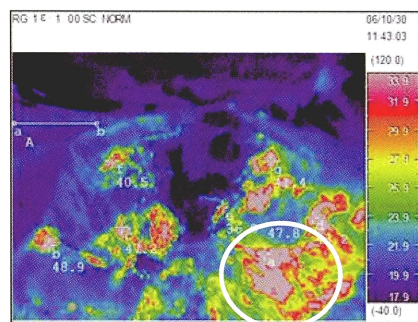
Fig.9 IR images and visible images of the fumarolic area southwest rim of Shindake crater.

(Upper-left) IR image on Oct. 30, 2006. (Upper-right) Visible image on Oct. 30, 2006.

(Lower-left) IR image on Oct. 30, 2006. (Lower-Right) Visible image on Oct. 30, 2006.



①熱映像：2006年3月2日



②熱映像：2006年10月30日

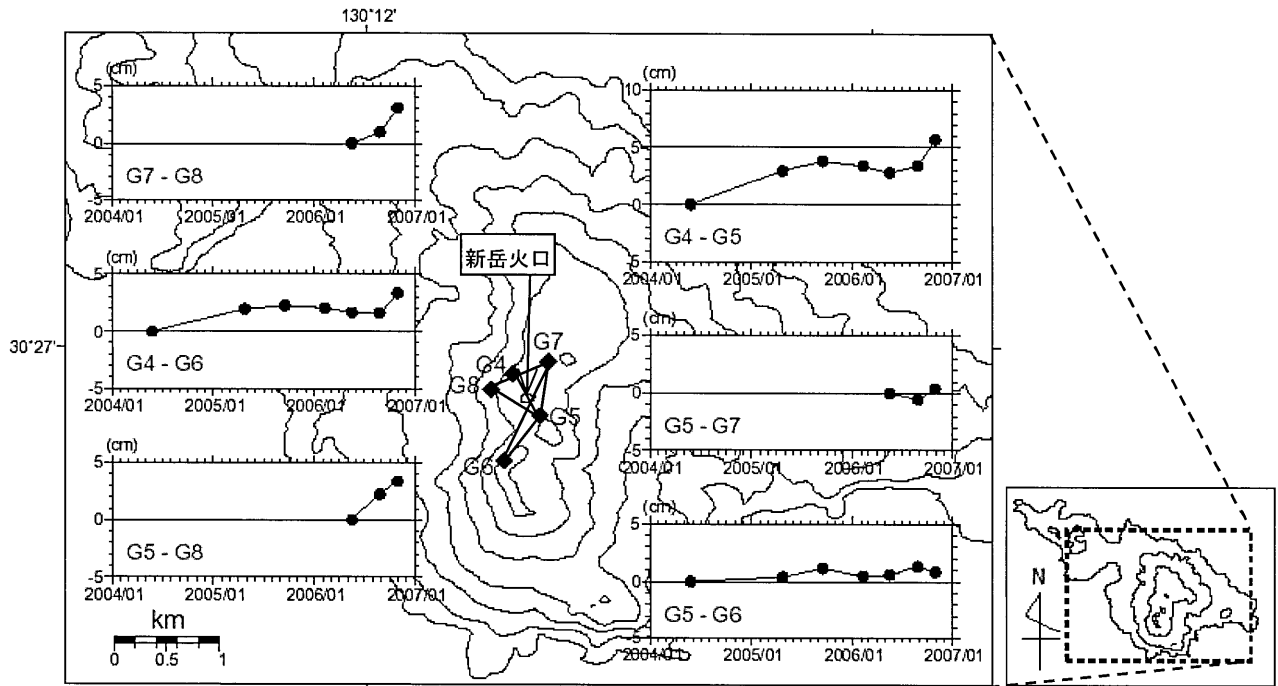


③可視画像：2006年10月30日

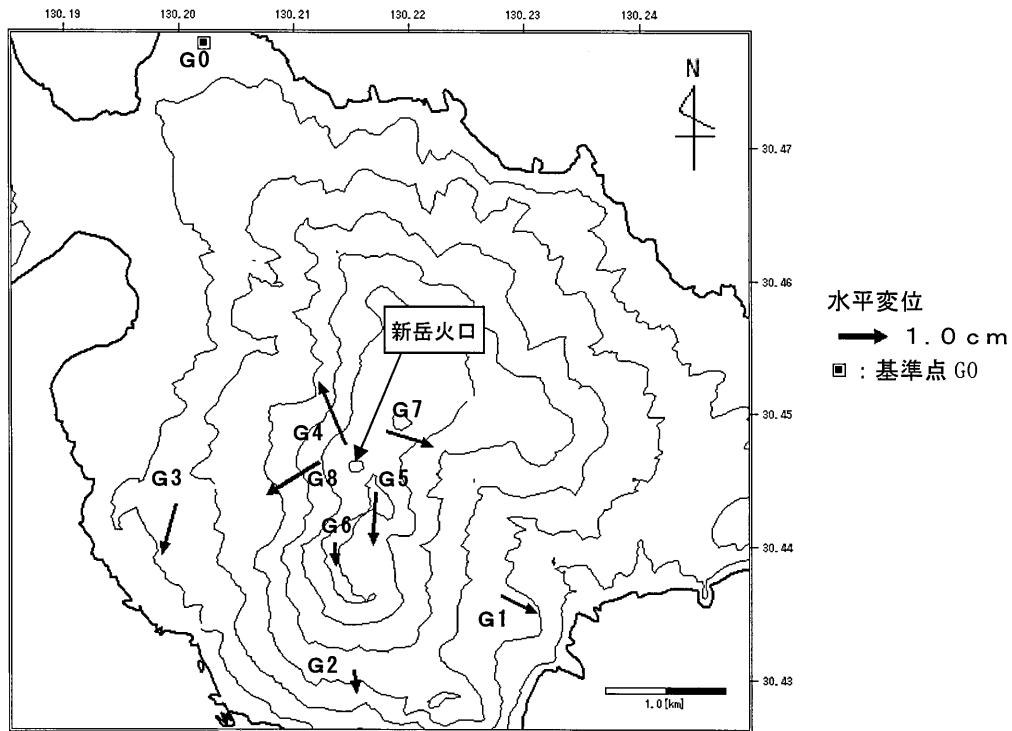
第10図 口永良部島 上空からの観測による新岳火口南西側の噴気地帯の状況

Fig.10 Aerial photograph of the fumarolic area southwest rim of Shindake crater.

(Left) IR image on Mar. 2, 2006. (Middle) IR image on Oct. 30, 2006. (Right) Visible image on Oct. 30, 2006.



①GPS 繰り返し観測による基線長変化(2004年5月~2006年10月)

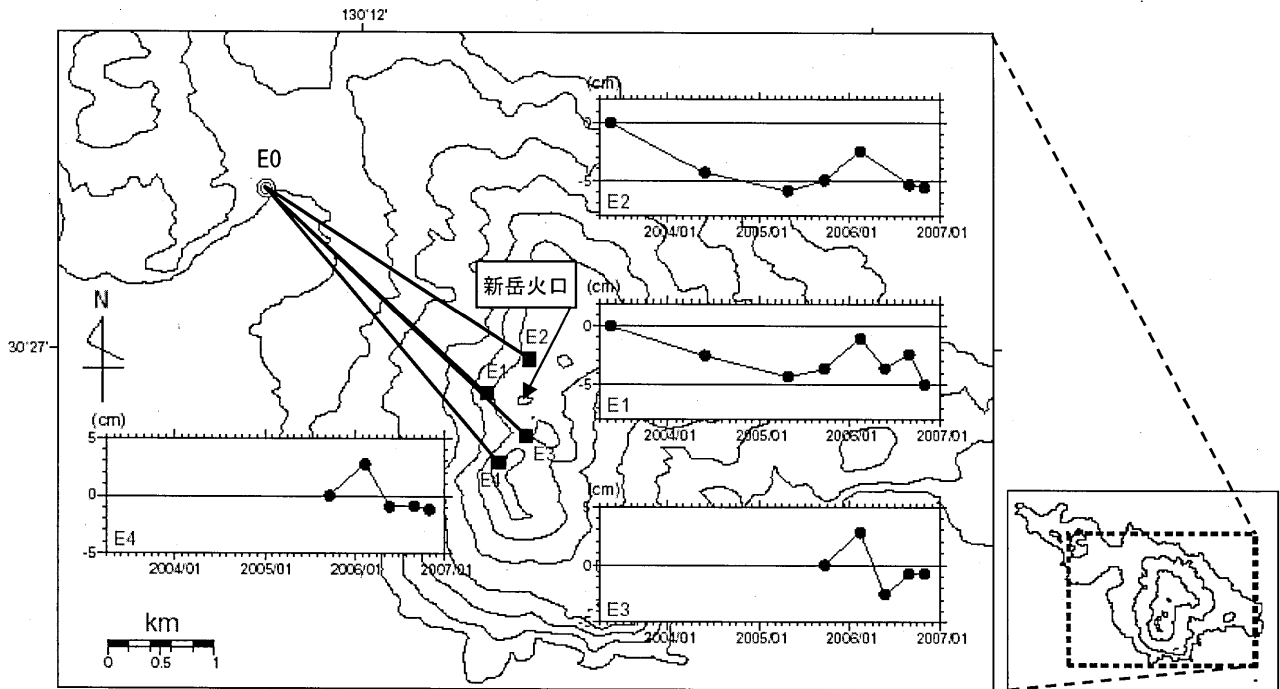


②G0を基準点とした水平変位ベクトル図(2006年8月~10月)

第11図 口永良部島 GPS 繰り返し観測結果

Fig.11 Results of repeat GPS measurements.

(Upper) Distance change time series plots of the baselines spanning GPS stations (May, 2004-Oct., 2006).
 (Lower) Horizontal displacements at repeat GPS stations (Aug., 2006-Oct., 2006). Reference point: G0.



第12図 口永良部島 光波測距繰り返し観測結果(2003年5月~2006年10月)

Fig.12 Results of repeat EDM measurements (May, 2003-Oct., 2006). Reference point: E0.